



Automatic Control Chair, Kiel University

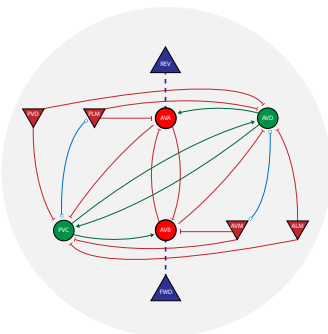
Eine Anwendung des Reinforcement Learning auf biologische neuronale Netze zur Regelung dynamischer Systeme am Beispiel des inversen Pendels

Abschlussvortrag Bachelorarbeit

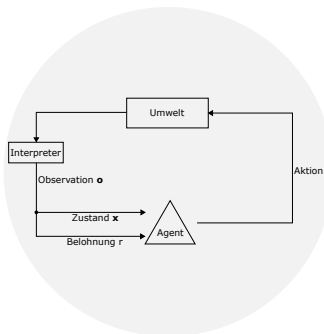
Jonas Helmut Wilinski

Abschlussvortrag Bachelorarbeit, Kiel (Germany), 14. September 2018

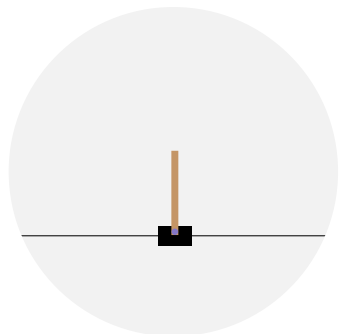
Übersicht der Themen dieser Bachelorarbeit



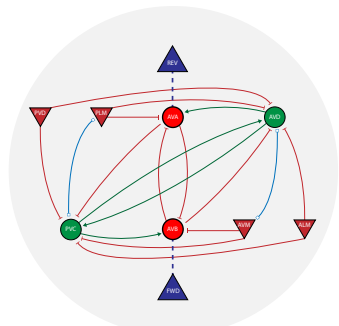
Biologische neuronale
Netze



Reinforcement Learning



Simulation: inverses Pendel



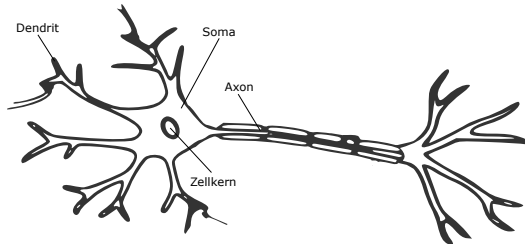
- ▶ Nervenzellen & Synapsen
- ▶ Biologisches neuronales Netzwerk
- ▶ Simulation neuronaler Dynamik

Biologische neuronale Netze

Biologische Nervenzellen

Neuronale Netze biologischer Lebensformen bestehen aus Nervenzellen und Synapsen bzw. Gap-Junctions.

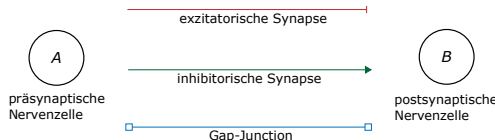
- Das **Soma** enthält den Zellkern und verarbeitet ankommende Informationen.
- Der **Dendrit** dient der Reizaufnahme von Signalen anderer Nervenzellen übertragen durch Synapsen und Gap-Junctions.
- Das **Axon** ist ein Nervenzellenfortsatz zur Weiterleitung der Signale von Soma an weitere Synapsen und Gap-Junctions.



Biologische Synapsen

Eine Synapse dient der Informationsübertragung zwischen zwei Nervenzellen und wird in drei Kategorien unterteilt:

- Exzitatorische Synapsen (chemisch) - wirken anregend auf die postsynaptische Nervenzelle und übertragen die Informationen.
- Inhibitorische Synapse (chemisch) - wirken hemmend auf die postsynaptische Nervenzelle und übertragen die Informationen negativ.
- Gap-Junctions (elektrisch) - wirken bidirektional als synchronisierende Verbindung und gleichen Potentialunterschiede aus.



Biologisches neuronales Netz des C. Elegans

Der *Touch-Withdrawal Circuit* des *C. Elegans* dient des reflexartigen Zurückschnellens bei äußeren Stimuli.



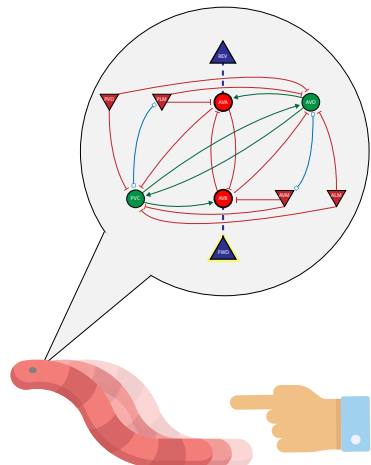
Sensor-Neuronen nehmen Signale durch äußere Stimuli auf und übersetzen diese auf Aktionspotentiale innerhalb des neuronalen Netzes.



Inter-Neuronen nehmen durch Synapsen und Gap-Junctions Aktionspotentiale entgegen und summieren diese auf, bis ein Schwellwert erreicht wird und es feuert.



Motor-Neuronen sorgen bei entsprechenden Feuer-Events für die Anregung von Muskelgruppen, um bspw. eine Vorwärtsbewegung umzusetzen.



Neuronale Dynamik durch das Leaky Integrate and Fire - Modell

Die neuronale Dynamik und die damit verbundenen Vorgänge im neuronalen Netz werde durch das *Leaky Integrate and Fire (LIF)* - Modell dargestellt.

Berechnung des Membranpotentials bei anliegenden Synapsen- und Gap-Junction-Strömen:

$$\frac{dU}{dt} = \frac{G_{\text{Leak}}(U_{\text{Leak}} - U) + I_{in}}{C_m} \quad \text{mit} \quad (1)$$

$$I_{in} = \sum_{i=1}^n I_{\text{stimuli}} + \sum_{i=1}^n I_{\text{syn}} + \sum_{i=1}^n I_{\text{gap}}. \quad (2)$$

Berechnung der Synapsen- und Gap-Junction-Ströme:

$$I_{\text{syn}} = \frac{\omega}{1 + \exp^{\sigma(u_{\text{pre}} + \mu)}} (E - u_{\text{post}}), \quad (3)$$

$$I_{\text{gap}} = \hat{\omega}(u_{\text{post}} - u_{\text{pre}}). \quad (4)$$

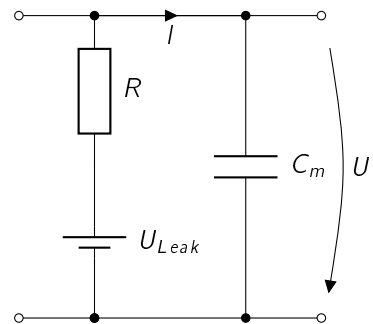
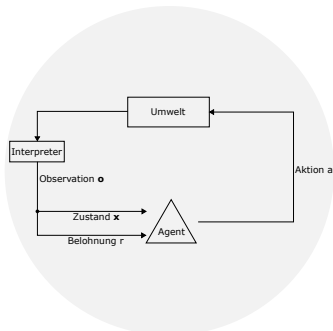


Figure 1: Ersatzschaltbild der Zellmembran

Motivation: Nutzung eines biologischen neuronalen Netzes

Klassische Anwendungen des *Deep Learning* durch neuronale Netze stützen sich auf künstlich erstellte Modelle. Die Nutzung bereits bestehender Netzwerke birgt einige Vorteile:

- + Profitieren von natürlicher Evolution.
- + Starke Anpassungsfähigkeit durch zwei Eingängen und einem Ausgang.
- + Einfache Erweiterbarkeit und Ausbau des Netzwerks durch Lernalgorithmen.
- + Kurze Trainingsphasen.
- Implementationsaufwand und Simulation durch *LIF*-Modell aufwendig.
- Wenig Fachliteratur über die Verbindung von biologischen neuronalen Netzen mit Methoden des Reinforcement Learning.
- Hohe Anzahl an zu simulierenden Parametern.



Reinforcement Learning

- Deep Learning und Grundlagen von Lernalgorithmen
- Vorteile des Belohnungssystems
- Reinforcement Learning durch Random-Search und genetischen Algorithmen

Reinforcement Learning und das Belohnungssystem

Reinforcement Learning aus dem Bereich des *Deep Learning* ist eine Abwandlung des überwachten Lernens mit der Erweiterung eines Belohnungssystems.

- Der Agent ist in der Lage, eine Aktion im gegebenen Aktionsraum zu tätigen.
- Die Aktion hat Auswirkungen auf die Umwelt bzw. Simulation, der neue Zustand der Simulation wird interpretiert und als Observationsvektor \mathbf{o} ausgegeben.
- Aus der Observation \mathbf{o} gehen zum einen der Zustandsvektor \mathbf{x} zum anderen die Belohnung r hervor.
- Diese Größen werden von dem Agenten interpretiert und dienen als neue Entscheidungsgrundlage der nächsten Aktion.

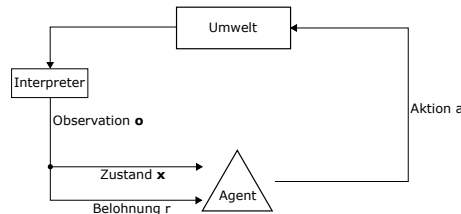


Figure 2: Funktionweise des *Reinforcement Learning*

Anwendung auf das biologische Netzwerk

Durch *Reinforcement Learning* können Parameter im biologischen neuronalen Netz optimiert werden, sodass es zu Feuer-Events kommt und ein gegebenes System stabilisiert werden kann.

- Um die neuronale Dynamik durch das *LIF*-Modell richtig abzubilden, damit es bei äußeren Stimuli zu internen Feuer-Ereignissen kommt, werden insgesamt 46 Parameter generiert und optimiert.
- Die Belohnung nach jeder Episode (Simulationslauf eines bestimmten Parametersatzes) gibt Aufschluss über die Güte der generierten Parameter.
- Eine nachgelagerte Optimierung durch weitere Gewichtung der Synapsen und Gap-Junctions erfolgt ebenfalls.

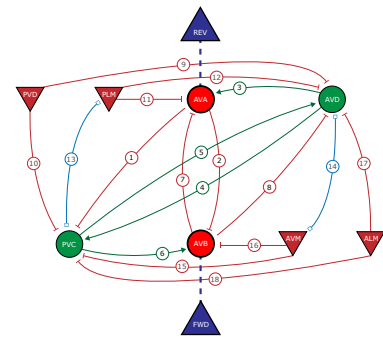


Figure 3: Biologisches neuronales Netzwerk mit Synapsengewichtung.

Suchalgorithmen

Random-Search

- Parameter werden in einer gegebenen Gleichverteilung mit festen Grenzen pro Episode zufällig generiert.
- Die Performance jedes Parametersatzes wird anhand der erhaltenen Belohnung gemessen.
- Nach Ablauf der Simulationszeit werden diejenigen Parameter gespeichert, welche die höchste Belohnung erhalten haben.

Weights

- Im Gegensatz zu Random-Search wird Weights zur Optimierung des neuronalen Netzes mit bereits bestehenden Parametern verwendet.
- Es werden bestehende Synapsen mit einem pro Episode zufällig gewählten Gewicht versehen, welches die Reizübertragung schwächt.

Suchalgorithmen

Genetische Algorithmen

- Die erste Generation an Parametern wird in einer gegebenen Gleichverteilung mit festen Grenzen pro Episode zufällig generiert.
- Nach Durchlauf der ersten Generation werden wenige Episoden mit guter Belohnung in eine Selektion aufgenommen.
- Die Grenzen der Gleichverteilung werden entsprechend der Maxima/Minima der Selektion angepasst.
- Die Simulation konvergiert auf ein lokales Maximum für jeden Parameter.

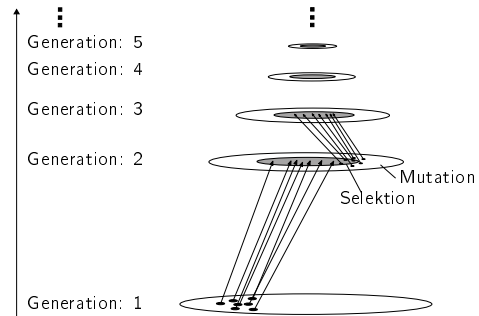
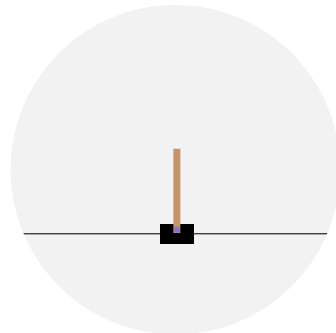


Figure 4: Grafische Darstellung des genetischen Algorithmus.



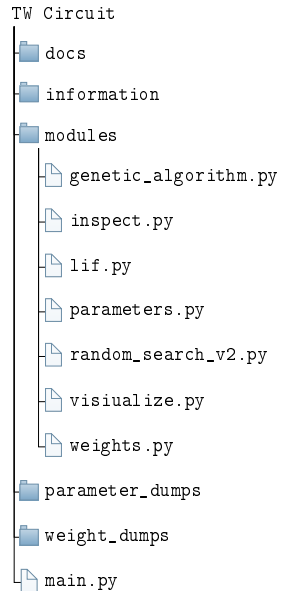
Simulation: inverses Pendel

- Implementierung des Simulators
- Simulationsumgebung: OpenAI Gym
- Grafische Darstellung und Auswertung der Simulation

Aufbau des Simulators

Um die neuronale Dynamik des biologischen neuronalen Netzes zu simulieren und die Aktionen auf die Umwelt zu übertragen, wurde ein Simulator in der Programmiersprache Python geschrieben.

- Wichtige Programmfonktionen wurden in Modulen zusammengefasst und sind uneingeschränkt aufrufbar.
- Es existiert ein zentraler Punkt zum Ändern von Parametern des neuronalen Netzes sowie anderer Simulationsvariablen.
- Parameter und Gewichte werden nach Simulationen mit entsprechenden Informationen gespeichert und sind plattformunabhängig aufrufbar.
- Der Programmcode ist ausführlich Kommentiert und es wurde eine entsprechende Dokumentation verfasst, um den Simulator nach eigenen Anforderungen zu erweitern.

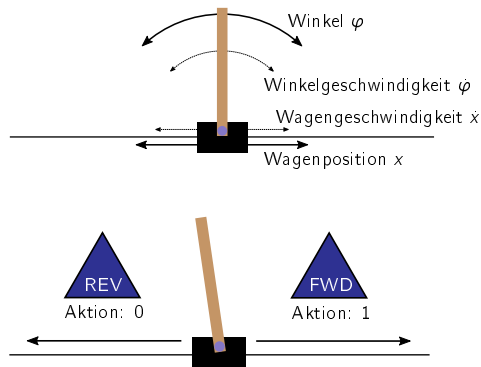


Implementierung und Simulation des inversen Pendels

Simulationsumgebung CartPole_v0

Um die Methode des *Reinforcement Learning* auf biologische neuronale Netze anzuwenden, wird die Simulationsumgebung CartPole_v0 von OpenAi Gym gewählt.

- Das inverse Pendel auf dem Wagen kann sich in Vorwärts- und Rückwärtsrichtung bewegen.
- Pro Zeitschritt kann ein Schritt in die jeweilige Richtung erfolgen (Aktion: 0 oder 1).
- Der Observationsvektor \mathbf{o} gibt die Zustandsgrößen φ , $\dot{\varphi}$, x und \dot{x} wieder.
- Es wird ebenfalls eine Belohnung r zurückgegeben.
- Die Ein- bzw. Ausgangsgrößen werden mit den eingangs erwähnten Sensor- und Motor-Neuronen verbunden.



Simulationsläufe: Auslagerung auf Cloud Server

Durch rechenintensive Simulationen mit den Algorithmen Random-Search und Weights wird ein externer Server mit größeren Ressourcen benötigt.

- Eine virtuelle Instanz in der Google Cloud Platform wurde angemietet, um Simulationszeiten über 12 Stunden zu ermöglichen.
- Es wurden Simulationen mit über 10 Mio. Episoden gefahren und analysiert.
- Die Ergebnisse dieser Simulationen werden in Form von Parameter- und Weight-„Dumps“ bereitgestellt und können auf Heimrechnern visualisiert werden.

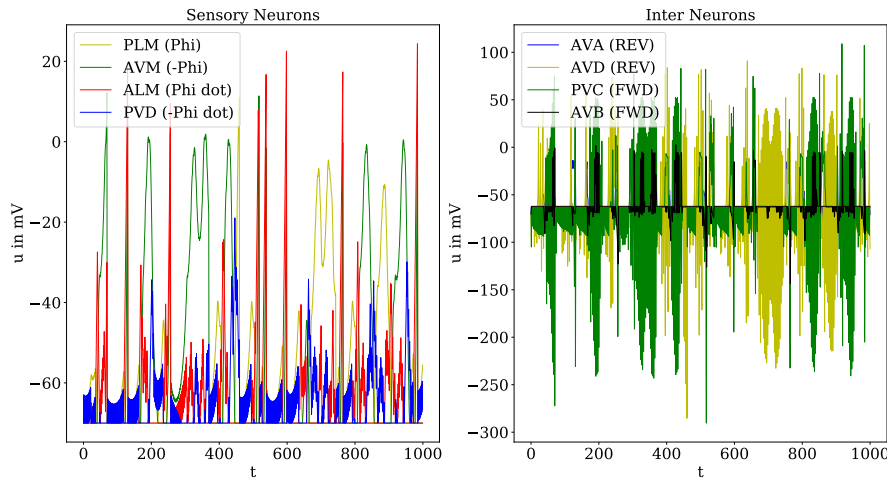
GCP virtuelle Instanz	
	4 vCPUs - Intel XEON
	12 GB DDR5 RAM
	Frankfurt, Deutschland
	Ubuntu 18.04 LTS
	Externe IPv4 Adresse



Implementierung und Simulation des inversen Pendels

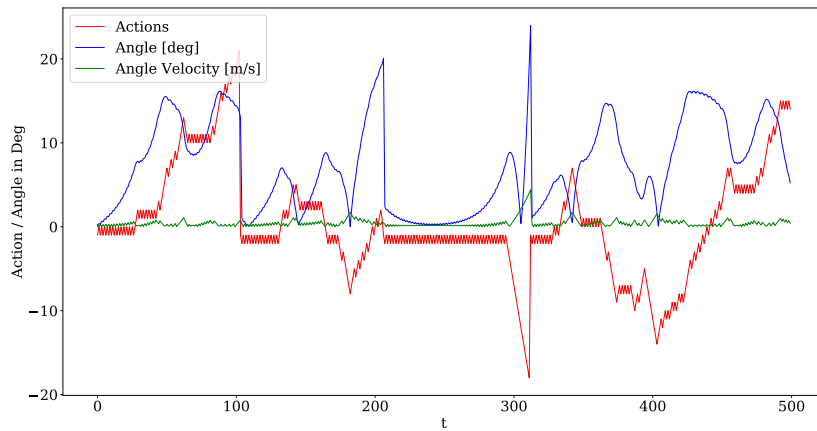
Visualisierung der Simulationsergebnisse

Darstellung der Membranpotentiale über eine Simulationsdauer von 10 Sekunden:



Visualisierung der Simulationsergebnisse

Darstellung der Aktion des neuronalen Netzes mit Winkel φ des Pendels über eine Simulationsdauer von 5 Sekunden:



Simulation des inversen Pendels (Video)

Das Video zeigt das inverse Pendel, welches durch das biologische neuronale Netz und bereits trainierten Parametern stabilisiert wird.

Zusammenfassung & Ausblick

ABC

- Die Kombination verschiedener Bereiche der Wissenschaft zeigt eine neue Herangehensweise an bereits bestehende Probleme in der Regelungstechnik.

Vielen Dank für Ihre Aufmerksamkeit.

BACKUP

Unterschied biologisches neuronales Netz vs. künstliches neuronales Netz

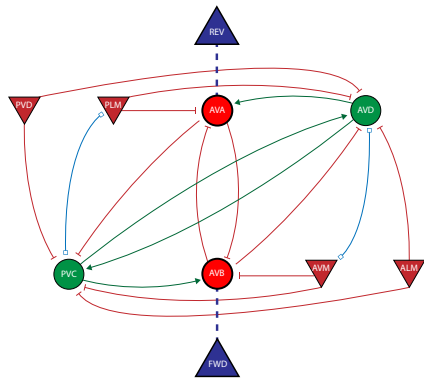


Figure 6: Biologisches neuronales Netz des *C. Elegans*.

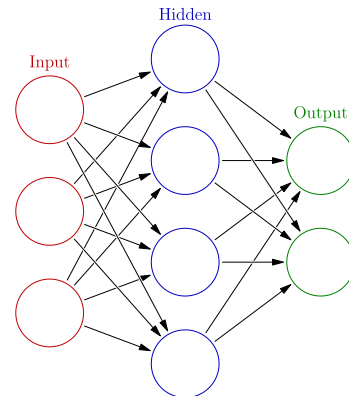


Figure 7: Modell eines künstlichen neuronalen Netzes

Herleitung des Leaky Integrate and Fire - Modells (1/3)

Um eine geeignete Differenzialgleichung herzuleiten, wird zuerst das erste Kirchhoffsche Gesetz angewendet

$$I = I_R + I_C. \quad (5)$$

Der Strom I_R ist einfach durch das Ohmsche Gesetz wie folgt zu berechnen

$$I_R = \frac{U_R}{R} = \frac{U - U_{Leak}}{R}. \quad (6)$$

Der Strom I_C wird durch die Definition eines Kondensators $C_m = \frac{q}{U}$ zum kapazitiven Strom

$$I_C = \frac{dq}{dt} = C_m \frac{dU}{dt}. \quad (7)$$

Hierbei steht q für die elektrische Ladung und U für die anliegende Spannung.
Einsetzen von (6) und (7) in (5) ergibt

$$I = \frac{U - U_{Leak}}{R} + C_m \frac{dU}{dt}. \quad (8)$$

Herleitung des Leaky Integrate and Fire - Modells (2/3)

Wird diese Gleichung mit R multipliziert und umgestellt, bildet sich die folgende lineare Differenzialgleichung erster Ordnung:

$$RC_m \frac{dU}{dt} = (U_{Leak} - U) + RI. \quad (9)$$

Der Strom I wird als Eingangsgröße verstanden und im weiteren Verlauf als I_{in} bezeichnet. Nach Division durch RC und Einführung des Leitwerts $G_{Leak} = \frac{1}{R}$ entsteht die gewollte Form:

$$\frac{dU}{dt} = \frac{G_{Leak}(U_{Leak} - U) + I_{in}}{C_m}. \quad (10)$$

In dieser Gleichung stehen die Variablen G_{Leak} , U_{Leak} und C_m für Parameter der betrachteten Nervenzelle, während I_{in} stellvertretend für alle eingehenden Ströme aus Stimuli, chemischen Synapsen und Gap-Junctions steht

$$I_{in} = \sum_{i=1}^n I_{Stimuli} + \sum_{i=1}^n I_{Syn} + \sum_{i=1}^n I_{Gap}. \quad (11)$$

Herleitung des Leaky Integrate and Fire - Modells (3/3)

Die anliegenden Synapsenströme sind durch folgenden formalaren Zusammenhang zu berechnen:

$$I_{Syn} = \frac{w}{1 + \exp^{\sigma(u_{pre} + \mu)}}(E - u_{post}). \quad (12)$$

Synapsenströme sind grundsätzlich von den pre- und postsynaptischen Potentialen der jeweiligen Nervenzellen u_{pre} und u_{post} abhängig. Weiterhin können diese chemischen Synapsen exzitatorisch oder inhibitorisch wirken. Diese Eigenschaft wird durch das sog. Nernstpotential $E \in [-90 \text{ mV}, 0 \text{ mV}]$ beschrieben. Weitere Größen dieser Gleichung bilden die Kreisfrequenz w , die Standardabweichung σ und der Erwartungswert μ .

Gap-Junctions bilden die Ausnahme, denn sie dienen als Ausgleichsglied und wirken bidirektional. Ihr Strom wird wie folgt berechnet:

$$I_{Gap} = \hat{w}(u_{post} - u_{pre}). \quad (13)$$

Für die Berechnung des Gap-Junction Stroms benötigt es ebenfalls das pre- und postsynaptische Potenzial der jeweiligen Nervenzellen u_{pre} und u_{post} , sowie die Kreisfrequenz \hat{w} .

Aktionsraum und Übersetzungsvorschrift der Sensor-Neuronen

Um die jeweiligen Größen durch die Sensorneuronen zu übersetzen, werden folgende Funktionen für die jeweils positive und negative Sensorneurone $S_{positiv}$ und $S_{negativ}$ angenommen:

$$S_{positiv} := \begin{cases} -70 \text{ mV} & x \leq 0 \\ -70 \text{ mV} + \frac{50 \text{ mV}}{x_{min}} x & 0 < x \leq x_{min} \\ -20 \text{ mV} & x > x_{max} \end{cases} \quad (14)$$

$$S_{negativ} := \begin{cases} -70 \text{ mV} & x \geq 0 \\ -70 \text{ mV} + \frac{50 \text{ mV}}{x_{min}} x & 0 > x \geq x_{min} \\ -20 \text{ mV} & x < x_{max} \end{cases} \quad (15)$$

$x \in [x_{min}, x_{max}]$ ist eine messbare, dynamische Systemvariable, welche in den gegebenen Grenzen x_{min} und x_{max} auftritt. Lediglich eine Fallunterscheidung wird getroffen: nimmt x einen positiven Wert an, wird Sensorneurone $S_{positiv}$ aktiviert, bei negativem x -Wert, agiert die Sensorneurone $S_{negativ}$.

Eine Anwendung des Reinforcement Learning auf biologische neuronale Netze zur Regelung dynamischer Systeme am Beispiel des inversen Pendels

Abschlussvortrag Bachelorarbeit

Contact data

Jonas Helmut Wilinski

Chair of Automatic Control
Faculty of Engineering
Kiel University

 <http://www.control.tf.uni-kiel.de>

 stu118261@mail.uni-kiel.de